



الكشف و الإستخلاص التلقائي لبصمة المبني في المرئيات الفضائية بإستخدام
تقنيات التعلم العميق بتطبيق Arc GIS pro - دراسة لحي التراث في مدينة
الديوانية

أ.م. د. أحمد الغريبي

أ.د. رافد العامري

جامعة القادسية - كلية الآداب-قسم لجغرافية

rafid.abd@qu.edu.iq

<https://orcid.org/0000-0002-3746-2570>



**Extraction and Automatic Identification of Building Footprints in Satellite Imagery Using Deep Learning Techniques with ArcGIS Pro Application -
A Study of Al-Turath District in Al-Diwaniyah City**

Ass. Prof. Ahmad S. Yasien Al-Gurairy

Prof.Dr. Rafid M. Abd Hassoun Al-Amery

University of Al-Qadisiyah - College of Arts - Department of Geography



المستخاذ

ان التطور التقني الكبير الذي شهدته عملية التخطيط الواسعة للمرئيات الفضائية، فضلاً عن تطور تطبيقات معالجة بياناتها، قد أتاحت للإنسانية آفاقاً جديدة للبحث في مختلف التخصصات ومنها التخطيط الحضري، بل وحتى إعادة الإعمار من خلال استخراج بصمات الابنية للمناطق الحضرية بصورة تقانية. كذلك، فإن لتكامل البيانات المختلفة الناتجة عن توافر مصادر بيانات الاستشعار عن بعد، يمكن ان يجعل تحسين جودة ودقة مخططات الاحياء السكنية ممكناً، لاسيما مع استخدام تقنيات الذكاء الاصطناعي التي أصبحت متاحة على نطاق اوسع من ذي قبل.

ولا يخفى على احد ، ان رسم الخرائط الحضرية للمدن باستخدام الوسائل التقليدية ومنها التخطيط المجرس ليس فعالاً، نظراً لأنه يستغرق الكثير من الوقت والجهد. وبالتالي، فقد جاءت هذه الدراسة لإيجاد وإيضاح طريقة فعالة في استخراج بصمة المبني باستخدام برنامج Arc GIS pro لتسرير عمليات رسم خرائط المدن العراقية. فقد شملت هذه الطريقة على أربع خطوات هي: تجهيز البيانات، تحويل البيانات التي تم تجميعها، استخدام الموديل وتحسين جودة الموديل المستخرج.

تمثل تطبيقات الذكاء الاصطناعي الحديثة في مجال التخطيط الحضري وغيرها مجالاً علمياً واسعاً، لاسيما وأنه لا يزال في بدايته. وبالرغم مما توفره هذه التطبيقات من إمكانيات علمية – اكاديمية مهمة في يومنا هذا، لاسيما اذا اضفنا لها موضوع متابعة التغيرات الحضرية لفترات زمنية مختلفة. إلا أنها قد تواجه بعض المشاكل التقنية التي يمكن تجاوزها وتلافتها بطرق علمية شتى، ابرزها ما يتعلق بإمكانية الحصول على مرئيات فضائية عالية الدقة ($10 * 10$ سم)، نظراً لأن تطبيقات الذكاء الاصطناعي لا تعمل بصورة كاملة وصحيفة إلا مع توافر هكذا بيانات، الامر الذي يتطلب استخدام استراتيجيات مختلفة لتحقيق هذه الأهداف العلمية.

الكلمات المفتاحية: الذكاء الاصطناعي، استخراج بصمة المبني، التعلم العميق، الخرائط الحضرية، مدينة الديوانية، Arc GIS pro

Abstract

The technological advancements witnessed in the comprehensive coverage of satellite imagery, coupled with the evolution of its data applications, can be celebrated as opening up new horizons in various fields, particularly in the geographic distribution for urban planning and even reconstruction through the automated production of building footprints in urban areas. The integration of various data arises from the availability of remote sensing data sources, enabling the enhancement of the quality and accuracy of residential neighborhood plans, especially with the use of artificial intelligence technologies that are now more widespread than ever before.

Moreover, mere reliance on random and inefficient urban planning, followed by ineffective modeling, is insufficient as it consumes significant time and effort. Consequently, this study has succeeded in elucidating an effective method for extracting building footprints using the ArcGIS Pro software to expedite the mapping processes of Iraqi urban cities. Thus, this is the straightforward four-step method: data preparation, transformation of the collected data, model utilization, and enhancement of the extracted model's quality.

Applications of artificial intelligence in urban planning and other broad-ranging fields are still in their infancy, especially given the lack of significant scientific-academic advancements in this area today, particularly when considering monitoring various scientific developments. However, they may encounter some technical challenges that can be overcome and mitigated through diverse scientific approaches, highlighting the potential for obtaining high-resolution imagery ($10*10$ cm), due to artificial intelligence applications, do not work fully and correctly except with the availability of such data, which requires Various uses of these scientific objectives.

Keywords: Artificial Intelligence, Building Footprint Extraction, Deep Learning, Urban Maps, Diwaniyah City, ArcGIS Pro.

المقدمة:

شهد العالم قفزات علمية كبيرة في مجال الإستشعار عن بعد وتطبيقاته المختلفة التي أصبحت في متناول يد الباحثين وغيرهم، فضلاً عما رافق ذلك من تطور واتساع كبير في كميات البيانات المتاحة بصورة مطردة. لذلك تطورت الحاجة العلمية - الأكاديمية من كيفية الحصول على البيانات الرقمية السهلة إلى مرحلة كيفية معالجة القدر الهائل من هذه البيانات حالياً، لذلك تم العمل على محاولة ربط التطبيقات الجيومكانية والحوسبة الجغرافية بالذكاء الإصطناعي المكاني (GeoAI)، في محاولة لتحليل الكم الهائل من البيانات المختلفة من جهة، والحصول على أفضل النتائج العلمية خلال مدة زمنية قصيرة من جهة ثانية. الامر الذي ادى إلى نقل علوم المعلومات الجغرافية ومراقبة الأرض ومواردها الطبيعية إلى مرحلة وعصر جديد مرتبط بالذكاء الاصطناعي.

ولا يخفى إن الحوسبة الجغرافية تتمتع بميزة استخدام الأساليب والأدوات الحسابية المختلفة لاستكشاف وتحليل البيانات الجغرافية المكانية وتوليد معارف ونتاجات علمية جديدة في عصرنا هذا. كما إنها تعمل مع GeoAI في إحداث تحسينٍ كبير للنهج المتبعة في معالجة التحديات الجغرافية المكانية المعقدة، لاسيما تلك المتعلقة منها بالأرض والتصنيف المكاني (Longley et al., 1998; Benediktsson, 2003; Pesaresi & Amazon, 2003; Fischer, 2006; Li et al., 2016; Song et al., 2023; أحمد عيادة، 2019؛ يارا الويس، صفية عيد & ناصر إبراهيم، 2023؛ رقية احمد محمد امين & حسين صدى عباس، 2023؛ ناجي الزناتي & محمد المقرحي، 2023). في الوقت نفسه، توفر تطبيقات الذكاء الإصطناعي المكانية GeoAI خوارزميات تعليمية قوية كالتعلم الآلي والتعلم العميق ونقل التعلم لتطوير حلول فعالة ومبتكرة لقضايا الجغرافيا المكانية المختلفة (VoPham et al., 2018؛ Janowicz et al., 2020). لذلك، فإن عملية إستخدام وتطوير الأدوات الحسابية المتقدمة التي تشمل (تحليل البيانات الضخمة، الحوسبة الجغرافية للعلوم الاجتماعية،

الحوسبة السحابية كما في استخدام تطبيق Google Earth Engine، وغير ذلك) ودمجها بالتحليل الجغرافي المكانى ومراقبة الأرض، قد أدى إلى إحداث تطورات أساسية واسعة في البيانات الجغرافية المكانية الضخمة وطرائق تحليلها والإفاده منها لتحقيق افضل واسرع النتائج التي تهدف إلى معالجة المشكلات المختلفة والتي تصب بدورها في مصلحة المجتمع الإنساني عامة (Yao et al., 2019; Qin et al., 2023; Song et al., 2023). وبالتالي تحقيق إمكانية الحصول على الخرائط الرقمية المختلفة بصورة سريعة وتحديثها آنياً بفضل هذه التطبيقات، وهو من الموضوعات المهمة جداً لاسيما إن رسم الخرائط يعد عنصراً أساسياً في نظم المعلومات الجغرافية ومراقبة الأرض، الامر الذي يساعد في فهم البيئات الطبيعية عموماً والحضارية منها بشكلٍ خاص.

لذا فقد ركزت دراستنا هذه على استخدام التطبيقات الجغرافية المكانية المدمج معها تقنيات الذكاء الإصطناعي، لاجل توظيفها في عمليات التخطيط الحضري وتحقيق أقصى فائدة من المعلومات الرقمية الهائلة مختلفة الانواع والاشكال في هذا المجال، وإنجاز ذلك بوقتٍ قياسي وبجهود ابسط مما عليه سابقاً. اذ تسعى دراستنا هذه لتحقيق الإجابة عن عدة تساؤلاتٍ مهمة متعلقة بهذا الموضوع، متمثلةً بـ :

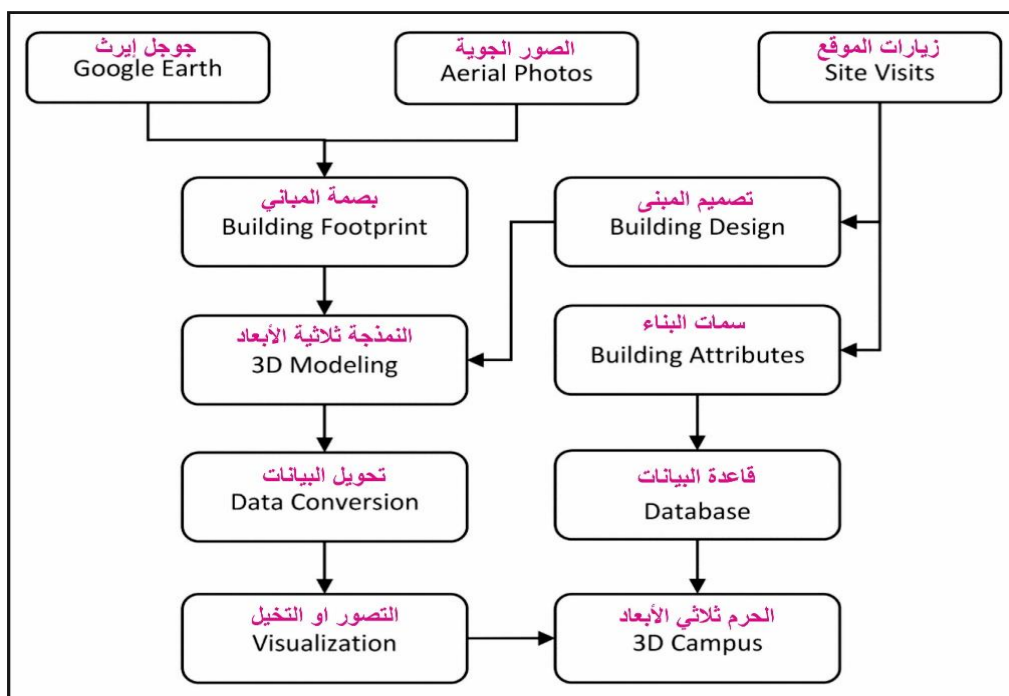
هل يمكن إستخدام تقنيات التطبيقات الجغرافية المكانية المدمجة بالذكاء الإصطناعي في التخطيط الحضري للمدن من خلال الإستخلاص التلقائي لبصمة المباني السكنية في المدينة؟ وهل تساعد هذه الطريقة في تسريع عمليات الحصول على النتائج وبالتالي تقليل الجهد المبذول والوقت في إنجاز ذلك؟ ثم، ما هي ابرز المعوقات التي يمكن ان تواجه الباحثين في هذا الموضوع ، وكيفية التغلب عليها؟

عموماً، أصبح التمثل المكاني للمناطق الحضرية وتعظيم النماذج ثلاثية هو الشغل الشاغل للحكومات والمراکز البحثية عالمياً، لاسيما وانه يدخل في موضوع تحويل المدينة التقليدية إلى مدينة ذكية. هذا الموضوع يدخل ضمنه عدة موضوعات متراقبة مع بعضها البعض بدرجة وثيقة، كما هو الحال في عملية المحاكاة ثلاثية الابعاد

للمدينة، معرفة السيناريوهات المختلفة الحالية والمستقبلية لحالة المدينة واحتياطها، وبالتالي فإن عملية الاستخلاص التلقائي لبصمة المبني السكنية داخل وخارج المدينة سيسهم في ذلك بدرجة كبيرة كونه يمثل المقدمة لهذا مشروع (الشكل 1)، والذي سيؤدي بدوره إلى تحقيق نتائج أكثر أهمية متمثلة بـ التطوير الآني والمستقبلية للمدن الذكية أو تطوير التوائم الرقمية الذي يعد بدوره المهمة الرئيسية للحكومات العالمية Mao, B. 2011; Alastal, Salha & El-Hallaq, 2019; Salleh, 2011; Ujang & Azri, 2021; Khayyal., Zeidan & Beshr, 2022 حالياً).

الشكل (1) المنهجية العامة لبناء حرم إفتراضي ثلاثي الأبعاد

(Salleh, Ujang & Azri, 2021)



لذلك، فيمكن أن توفر عملية الجمع بين النمذجة ثلاثية الأبعاد وأنظمة المعلومات الجغرافية على سبيل المثال، مجموعة واسعة من التطبيقات المختلفة ذات الأهمية الكبيرة، مثل التعلم الآلي، أعمال الترميم، تحليل الظل، التخطيط الحضري، رسم خرائط وتخطيط الأشكال الأرضية الطبيعية وتمكين المستخدمين من التعامل مع القيود

المفروضة على نظم المعلومات الجغرافية ثنائية الأبعاد (Piccoli, 2013; Khayyal., Zeidan & Beshr, 2022). وبذلك، تعد تقنية الذكاء الاصطناعي لنظم المعلومات الجغرافية (Geo-AI) حالياً مجالاً بحثياً واسعاً، لأنه يمثل مزيجاً من تقنية الذكاء الاصطناعي والوظائف المكانية (بما في ذلك معالجة البيانات المكانية وتحليلها). كما إنه يُعد مصطلحاً عاماً لسلسلة من التقنيات القابلة للتشغيل البيني للذكاء الاصطناعي وأنظمة المعلومات الجغرافية، لذلك ففي الآونة الأخيرة، أصبحت GeoAI تدريجياً محور التركيز الرئيس لأبحاث وتطبيقات علوم الأرض (Mohanty et al., 2020).

1. منطقة الدراسة – Study Area

تم اختيار حي التراث السكني في مدينة الديوانية هدفاً للدراسة ، الشكل (2)، في محاولةٍ لمعرفة وتشخيص النتائج التي يمكن تحقيقها في عملية إستخراج بصمة المبني السكنية داخل المناطق الحضرية باستخدام اساليب الذكاء الاصطناعي.

الشكل (2) حي التراث – مدينة الديوانية



2. جمع وإعداد البيانات – Dataset

تطلب هذا العمل إعداد مجموعة من البيانات والتطبيقات المختلفة، إبتدأت بتنصيب برنامج Arc GIS pro 2.8 في الحاسوب المحمول، كذلك ضرورة تنزيل وتنصيب

مكتبة التعلم العميق (deep learning libraries and installer for arcgis pro) 2.8 من موقع الشركة المنتجة للتطبيق (ESRI). من ثم، قمنا بتنزيل ملفات المطابقة الخاصة بالكشف عن بصمة المبني من الموقع الرسمي لشركة إيسري – ArcGIS (https://livingatlas.arcgis.com) Living Atlas of the World وتنزيل ملف المطابقة المعتمد في إستخراج بصمة المبني في المملكة العربية السعودية (Building Footprint Extraction – KSA) لدراستنا هذه، مع تنزيل ملف المطابقة لاستخراج بصمة المبني في الولايات المتحدة ومصر لتكون تحت متناول اليد. فيما تم جمع العديد من المرئيات الفضائية التي تظهر ضمنها منطقة الدراسة من مصادر عدة، لاجل ضمان إختيار الأكثـر دقة منها لهذا العمل.

3. مراحل العمل لبناء نموذج بصمة المبني – Building footprints Model:

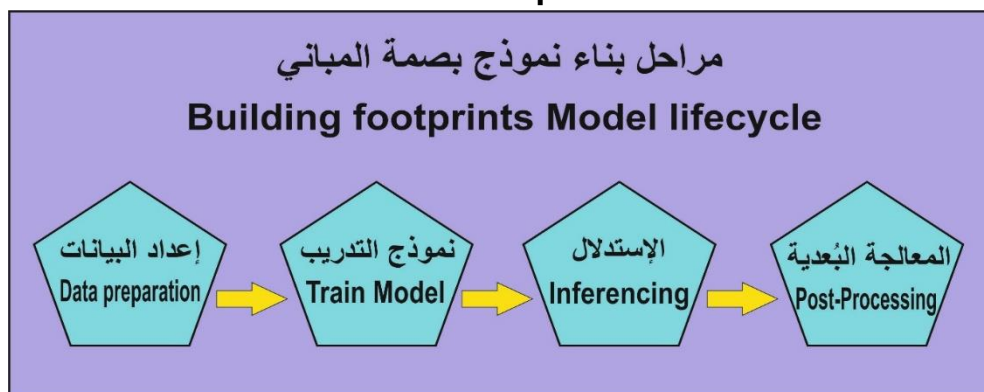
تم تنفيذ الدراسة من خلال أربعة مراحل، وكذلكالي :

1.4 . مرحلة إعداد البيانات – Data Preparation :

وهي المرحلة الأولى من العمل والتي تتضمن تهيئة التطبيقات والمرئيات الفضائية والملفات الضرورية الأخرى الازمة للبدء بالمشروع، الشكل (3).

الشكل (3) مخطط يوضح مراحل بناء نموذج إستخراج بصمة المبني باستخدام برنامج

ArcGIS pro



2.4 . مرحلة إعداد نموذج التدريب – Train Model :

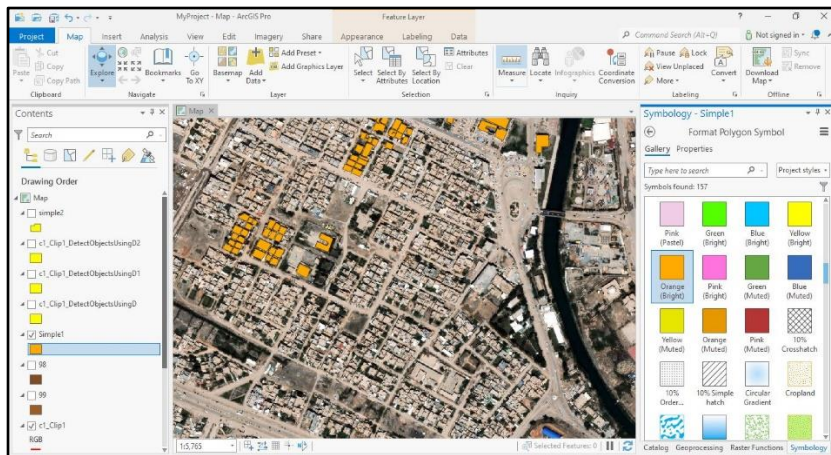
تتضمن هذه المرحلة عدة خطوات مهمة تمحور بشأن إنجاز نموذج (Model) ضمن بيئة برنامج ArcGIS pro، يمكن البرنامج وبالتالي من التعامل بنفسه (بتقنية الذكاء الإصطناعي) مع المرئية الفضائية لمنطقة الدراسة، وإستخراج الأشكال المشابهة لها في النموذج التدريبي اعلاه.

بدايةً، تم العمل على إنشاء نموذج التدريب الذي سيشكل العينة المعتمدة للبرنامج من خلال الأدوات التي تتيحها بيئة البرنامج ووفقاً للخطوات التالية:

Analysis → Tools (Tool Box) → Geoprocessing → Create Feature Class ↓
→ Edit → Create Features → إدخال البيانات وإنشاء العينة الفارغة
→ Polygon → رسم العينات فوق المرئية الفضائية لمنطقة الدراسة (كلما زاد عدد الوحدات المرسومة داخل العينة، كلما كانت النتائج أكثر دقة) → فتح خيار Attribute Table بالنقر على أيقونة النموذج
→ إضافة حقلين جديدين داخل جدول العينة (النموذج) وهما: Class Value (Class Name)

يلاحظ، ضرورة القيام ببعض الخطوات البسيطة اللاحقة الأخرى، لتصبح العينة جاهزة للإستخدام، الشكل (4).

الشكل (4) يوضح إنشاء العينة (النموذج) ضمن بيئة برنامج ArcGIS pro



بعد ذلك، تأتي الخطوة اللاحقة ضمن هذه المرحلة، وهي تهيئة النموذج (**Simple**) لتصديره إلى أداة التعلم العميق – **Deep Learning**، لاجل تهيئة بيئة البرنامج لمعرفة المطلوب منها عمله من خلال الذكاء الاصطناعي، وكما موضح :

Geoprocessing → Export Training Data for Deep Learning → use Simple 1 → تحديد بعض المواصفات → Run .

سيتيح لنا العديد من المقاطع الصورية الصغيرة لمرئية الدراسة، عمد البرنامج إلى تقطيعها بحسب المساحات التي طلبناها وفي دراستنا هذه كانت الصفة او المساحة المطلوبة (**400 * 400**)، وكانت عدد المقاطع التي كونها البرنامج عن مرئية منطقة الدراسة تبلغ (**69**) صورة مقطعة فيما كانت عدد السمات او المظاهر المشتقة (**390**)، الشكل (**5، 6**). يُذكر، إن التطورات الحديثة في إعادة استخدام شبكات CNN لتجزئة الصور الدلالية تجعل من التصنيف الكثيف للصور بحسب البكسل ممكناً ويعطي نتائج جيدة ([Long, Shelhamer & Darrell, 2015](#)).

الشكل (5) بعض من الصور المقطعة التي قام البرنامج بتجهيزها



الشكل (6) ملف عرض النتائج التي قام البرنامج بإنجازها ضمن هذه المرحلة

```

stats.txt - Notepad
File Edit Format View Help
images = 69 *3*400*400
features = 390
features per image = [min = 1, mean = 5.65, max = 17]
classes = 1
cls name
0
    cls value      images      features      min size      mean size      max size
1           69          390       0.04     228.58   1880.54

```

وبالتالي، فإن هذه المرحلة شملت تقطيع مرئية منطقة الدراسة على صور مقطعة (بواقع 69 مقطع) ومعاييرها مع العينة او النموذج الذي قمنا بإنشائه (**Simple 1**)، لاجل عمل قناع ظل (**Mask**) على سطح كل بناء داخل منطقة الدراسة، لاجل ان يتمكن البرنامج لاحقاً وبالذكاء الإصطناعي من إشتقاق جميع الابنية السكنية والتجارية ضمن المنطقة بصورة تلقائية، اعتماداً على هذه الخطوة. ويمكن ايضاً ان يتم استخدام تطبيقات البايثون بتشغيل (**bot**) يمكنه العمل على هذا الموضوع ايضاً لزيادة الدقة في النتائج.

3.4. مرحلة الإستدلال – Inferencing

وهي تمثل المرحلة النهائية تقريراً للحصول على النتائج، حيث يتم عمل الإستدلال للذكاء الإصطناعي داخل التطبيق بالاعتماد على نتائج السابقة، وكما يلي :

Geoprocessing → Detect Object → مع إضافة **Model Definition** وفي حالتنا هنا اعتمدنا النموذج **المطلوبة → Run** = الكشف عن بصمة المبني

فكان النتائج الأولية كما موضحة في الشكل (7)، تمثل الحصيلة شبه النهائية للتطبيق، والتي ستحدد فيما بعد ما إذا كان العمل يحتاج إلى خطواتٍ أخرى متعددة أم خطوة واحدة فقط.

الشكل (7) نجاح عملية الكشف عن بصمة المبني في منطقة الدراسة ضمن بيئة ArcGIS pro



تُظهر النتائج المستحصلة من الشكل (7) نتيجتين مهمتين، إحداهما طبيعية وتحتاج إلى معالجة في المرحلة الرابعة اللاحقة. أما الثانية، فهي متعلقة بدقة ووضوح المرئية الفضائية المستخدمة في عملية الكشف عن بصمة المبني هنا. ففي حالتنا الدراسية هنا، ونتيجةً لاستخدامنا مرئية فضائية بدرجة وضوح (60 * 60 سم) فقط، كونها المتوفرة، فقد أدى ذلك إلى إعطاء نتائج غير كاملة عند الكشف عن بصمة مبني المنطقة، حيث تراحت نسبة التغطية إلى نحو (55 - 60 %) من جملة البناء الموجودة في الحي السكني. فلو تم الحصول على مرئية فضائية عالية الدقة لهذا الحي السكني (مثلاً 10 * 10 سم) أو صورة جوية ملقطة بواسطة طائرة او طائرة بدون طيار لتغيرت نتائج التغطية وإستخلاص البصمة بدرجة أكبر مما حدث في حالتنا هذه.

3.4. مرحلة المعالجة البعدية – Post-processing

يمكننا ملاحظة ان شكل البصمة المستحصلة بالذكاء الاصطناعي او التعلم العميق، قد كانت غير منتظمة الشكل بحيث تبدو حافات كل بصمة او قناع لاي مبني سكني او تجاري غير منتظمة الحدود (متعرجة وليس مستقيمة)، الامر الذي يحتم علينا طبيعياً العمل على معالجة ذلك في هذه المرحلة الاخيرة. ولاجل ذلك فقد قمنا باتباع

الخطوتين التاليتين للحصول على بصمة منتظمة الشكل وذات خطوط غير متداخلة،
وكما موضح: إلغاء الخطوط الزائدة وحذف تداخلها

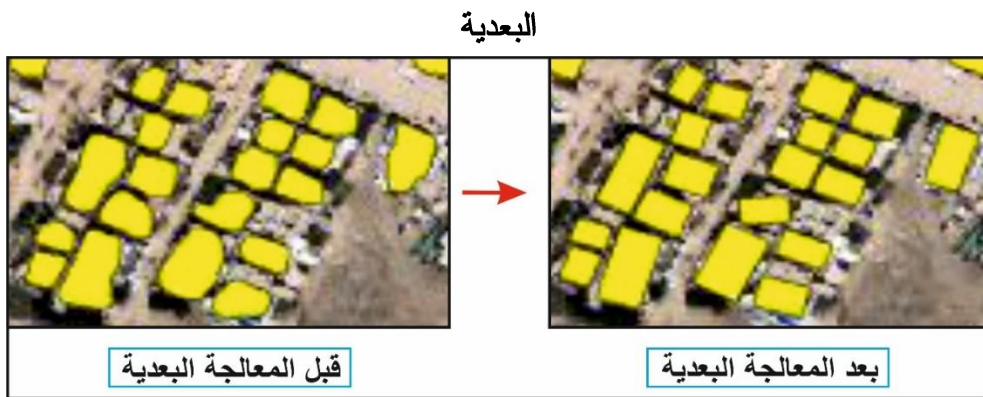
Geoprocessing → Dissolve → Run =

من ثمّ، نعمد إلى الخطوة اللاحقة باستخدام ناتج الخطوة اعلاه (**Dissolve**)، وفقاً
—

Geoprocessing → Regularize Building Footprint → Run =

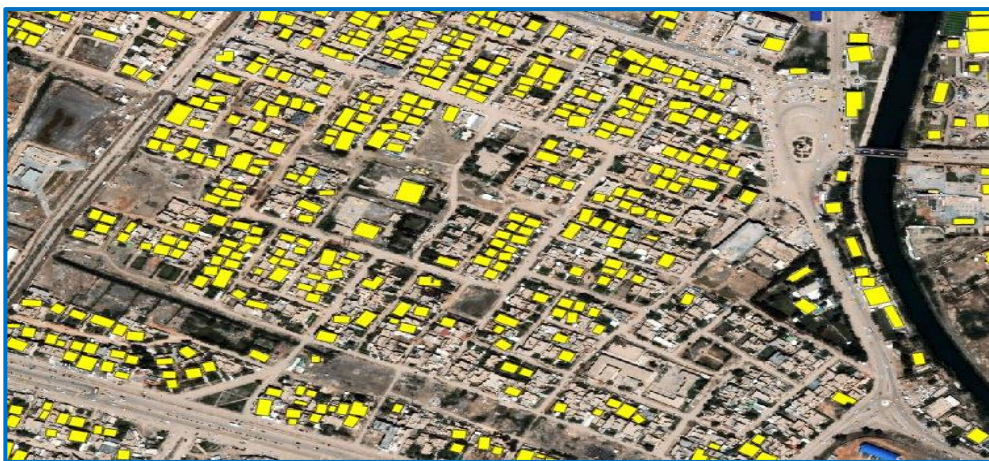
للحصول على الشكل النهائي المنتظم لكل بصمة ناتجة عن عملية الكشف
والإخلاص التلقائي. من خلال الشكل (8)، يمكن ملاحظة الفرق بين البصمة
المستخلصة بالتعلم العميق قبل وبعد معالجتها البعدية.

الشكل (8) شكل حافات البصمة المستخلصة بالتعلم العميق قبل وبعد المعالجة



وبالتالي فإن النتيجة ما قبل النهاية ستظهر كما مبينة في الشكل (9)، بعد إجراء كافة
المعالجات المطلوبة.

الشكل (9) شكل البصمة المستخلصة بالتعلم العميق بعد المعالجة البدنية



مما سبق، يظهر ان الخطوات المتتبعة قد أدت إلى إنتاج بصمة لمبني حي التراث بنسبة تجاوزت الـ 55% من اجمالي البناء الموجودة فيه (المحددة باللون الاصفر). وبإتباع عملية الإضافة اليدوية ضمن بيئه البرنامج نفسه (المبني المحدد باللون الأخضر)، لما لم يظهر من بصمات المبني بالذكاء الاصطناعي، فقد تم إنجاز العملية بصورة كاملة، الشكل (10).

الشكل (10) استخلاص بصمة المبني لـ حي التراث بصورة كاملة (الصفراء بالتعلم العميق والخضراء يدوياً)



وبذلك، تم الحصول على النتائج النهائية بصورة كاملة لجميع اجزاء الحي، كما موضح في الشكل (11).

الشكل (11) النتيجة النهائية لعملية الكشف وإستخلاص بصمة المباني في حي التراث باستخدام تطبيق ArcGIS pro



ختاماً، فعلى الرغم من المتزايدة للحوسبة الجغرافية وGeoAI في رسم الخرائط، لا تزال هناك حاجة متزايدة لدراسة تطبيقاتها من وجهات نظر مختلفة. حيث إنَّ من المهم بشكل متزايد فهم الآثار الجغرافية المكانية للطرائق المتعددة والنتائج الناتجة عن الحساب الجغرافي والذكاء الاصطناعي الجغرافي من جهة. بالإضافة إلى ذلك، تعد البيانات الجغرافية المكانية وبيانات الأرض معقدة ومتعددة عموماً، مع وجود مجموعة واسعة من المصادر والأنواع الخاصة بها، مثل مرئيات الأقمار الصناعية والصور الجوية وبيانات التصوير المساحي والبيانات الجغرافية المكانية وبيانات الموقع من وسائل التواصل الاجتماعي وتلك التطبيقات المختلفة المتواجدة على هواتفنا النقالة من جهة ثانية .

4. الخاتمة – Conclusion

إنَّ موضوع الإستخراج التلقائي لبصمة المباني، يُعدُّ مجالاً مهماً للبحث العلمي ضمن مجالات الاستشعار عن بعد باستخدام التعلم العميق والذكاء الاصطناعي الجغرافي. فهو يساهم في إغناء تطبيقات مختلفة مثل رسم خرائط الغطاء الأرضي لاستخدامات الأرضي ومواجهة الكوارث وإدارتها، بالإضافة إلى مساهمنته المهمةأخذت بالتوسيع كثيراً في العديد من الأنشطة الاجتماعية والاقتصادية الأخرى. تُساهم دراستنا هذه

في محاولة إغفاء موضوع الكشف عن بصمة المبني بالذكاء الإصطناعي (باعتبارها إحدى الدراسات الرائدة على مستوى العراق حالياً) باختيار أحد المناطق السكنية لمدينة الديوانية كعينة دراسية يمكن تعميمها مستقبلاً. وقد تم ذلك، باتباع منهجية تعتمد إستخراج بصمة المبني ذات الأحجام والأشكال المختلفة مع الحد الأدنى من التدخل البشري ضمن بيئة تطبيق ArcGIS pro.

بالطبع، لم تخل العملية من بعض المشاكل التقنية الناتجة عن عدم توفر مرئية فضائية عالية الدقة للمنطقة. فكانت النتائج المستحصلة للتصنيف التلقائي والإستحسان على بصمة المبني تتراوح بين (55 – 60%) من جملة مبني المنطقة. هذه النسبة من النجاح تعد نسبة مقبولة بالمقارنة مع نوعية ودقة المرئية المتاحة، لذلك حدثت بعض المشاكل المتوقعة نتيجة لذلك، إذ تم العمل على حلها يدوياً ضمن بيئة البرنامج نفسه. علاوة على ذلك، فقد تمت إزالة مشكلة التداخل الخطي التي تحدث كنتيجة طبيعية متوقعة عند الحصول على النتائج الأولية، والتي يجب تهيبيها وتشذيبها باستخدام الأدوات المناسبة المتاحة في بيئة التطبيق.

إن منهجية الاستخراج التلقائي للمبني المقترحة بسيطة وسريعة وفعالة، ولا تتطلب أي معلومات وبيانات ضخمة لاجل العمل عليها. وبالتالي، فقد تمكنت هذه الدراسة من تحقيق نسبة نجاح عالية في هذا الموضوع، من الممكن ان يتم تطوير واستثمار هذا النجاح ليكون نواةً مستقبلية في عمليات التخطيط الحضري للمدن العراقية وادارتها بصورة رقمية، تمهيداً لعملية تحويلها من مدن قديمة إلى مدن ذكية. كذلك، يمكن استخدام هذه الطريقة في تطبيقات مختلفة، مثل تقدير الأضرار من خلال تحديد المبني المتضررة وغير المتضررة اثناء الزلازل او الحرائق وغيرها، وحساب كثافة المبني في المنطقة.

References:

1. Song, Y., Kalacska, M., Gašparović, M., Yao, J., & Najibi, N. (2023). Advances in geocomputation and geospatial artificial intelligence (GeoAI) for mapping. *International Journal of Applied Earth Observation and Geoinformation*, 103300. [\[GoogleScholar\]](#)
<https://doi.org/10.1016/j.jag.2023.103300>

2. Longley, P. A., Brooks, S., Macmillan, W., & McDonnell, R. A. (1998). *Geocomputation: a primer*. Wiley. [\[Google Scholar\]](#)
3. Fischer, M. M. (2006). *Spatial analysis and geocomputation: selected essays*. Springer Science & Business Media. [\[Google Scholar\]](#) [\[Google Books\]](#)
4. VoPham, T., Hart, J. E., Laden, F., & Chiang, Y. Y. (2018). Emerging trends in geospatial artificial intelligence (geoAI): potential applications for environmental epidemiology. *Environmental Health*, 17(1), 1-6. [\[Google Scholar\]](#) <https://doi.org/10.1186/s12940-018-0386-x>
5. Janowicz, K., Gao, S., McKenzie, G., Hu, Y., & Bhaduri, B. (2020). GeoAI: spatially explicit artificial intelligence techniques for geographic knowledge discovery and beyond. *International Journal of Geographical Information Science*, 34(4), 625-636. [\[Google Scholar\]](#) <https://doi.org/10.1080/13658816.2019.1684500>
6. Li, S., Dragicevic, S., Castro, F. A., Sester, M., Winter, S., Coltekin, A, & Cheng, T. (2016). Geospatial big data handling theory and methods: A review and research challenges. *ISPRS journal of Photogrammetry and Remote Sensing*, 115, 119-133. [\[Google Scholar\]](#) <https://doi.org/10.1016/j.isprsjprs.2015.10.012>
7. Yao, X., Li, G., Xia, J., Ben, J., Cao, Q., Zhao, L., ... & Zhu, D. (2019). Enabling the big earth observation data via cloud computing and DGGS: Opportunities and challenges. *Remote Sensing*, 12(1), 62. [\[Google Scholar\]](#) <https://doi.org/10.3390/rs12010062>
8. Kun, Q. I. N., Hui, L. I. N., Yang, Y., & Feng ZHANG, J. G. (2022). Spatial Humanities and Geo-computation for Social Sciences: Advances and Applications. (*测绘学报* (英文版), 5(2), 1-6. [\[Google Scholar\]](#) <https://doi.org/10.11947/j.JGGS.2022.0201>
9. Mao, B. (2011). *Visualisation and generalisation of 3D City Models* (Doctoral dissertation, KTH Royal Institute of Technology). [\[Google Scholar\]](#) <https://urn.kb.se/resolve?urn=urn%3Anbn%3Ase%3Akth%3Adiva-48174>
10. Alastal, A. I., Salha, R. A., & El-Hallaq, M. A. (2019). The Reality of Gaza Strip Cities towards the Smart City's Concept. A Case Study: Khan Younis City. *Current Urban Studies*, 7(1), 143-155. [\[Google Scholar\]](#) <https://doi.org/10.4236/cus.2019.71006>
11. Salleh, S., Ujang, U., & Azri, S. (2021). Virtual 3D campus for universiti teknologi Malaysia (UTM). *ISPRS International Journal of Geo-Information*, 10(6), 356. [\[Google Scholar\]](#) <https://doi.org/10.3390/ijgi10060356>

12. Khayyal, H. K., Zeidan, Z. M., & Beshr, A. A. (2022). Creation and spatial analysis of 3D city modeling based on GIS data. *Civil Engineering Journal*, 8(1), 105. [\[Google Scholar\]](#) <https://doi.org/10.28991/CEJ-2022-08-01-08>
13. Piccoli, C. (2013, April). CityEngine for Archaeology. In *Proceedings of the Mini Conference 3D GIS for Mapping the via Appia, Amsterdam, The Netherlands* (Vol. 19). [\[Google Scholar\]](#) [\[Site\]](#)
14. Mohanty, S. P., Czakon, J., Kaczmarek, K. A., Pyskir, A., Tarasiewicz, P., Kunwar, S., ... & Schilling, M. (2020). Deep learning for understanding satellite imagery: An experimental survey. *Frontiers in Artificial Intelligence*, 3, 534696. [\[Google Scholar\]](#) <https://doi.org/10.3389/frai.2020.534696>
15. Benediktsson, J. A., Pesaresi, M., & Amazon, K. (2003). Classification and feature extraction for remote sensing images from urban areas based on morphological transformations. *IEEE transactions on geoscience and remote sensing*, 41(9), 1940-1949. [\[Google Scholar\]](#) <https://doi.org/10.1109/TGRS.2003.814625>
16. Long, J., Shelhamer, E., & Darrell, T. (2015). Fully convolutional networks for semantic segmentation. In *Proceedings of the IEEE conference on computer vision and pattern recognition* (pp. 3431-3440). [\[Google Scholar\]](#) [\[Site\]](#)

المصادر باللغة العربية

17. احمد عياده خضير (2019). تحليل ونمذجة خرائط الترب في قضاء راوه باستخدام نظم المعلومات الجغرافية . مداد الآداب 13 ،(الجزء الاول)، 938-925 [\[Google Scholar\]](#)
18. رقية احمد محمد امين & حسين صدى عباس. (2023). تغيرات الغطاء الأرضي لمنطقة المسيب بابل باستخدام بيانات الاستشعار عن بعد ونظم المعلومات الجغرافية: تغيرات الغطاء الأرضي لمنطقة المسيب بابل باستخدام بيانات الاستشعار عن بعد ونظم المعلومات الجغرافية . مداد الآداب، 3(30), 473-502 [\[Google Scholar\]](#)
19. ناجي عبدالله مختار الزناتي & محمد فرج بلعيد المقرحي (2023). رصد الزحف العمراني العشوائي بحرم وادي القطارة بمدينة بنغازي، ليبيا: رصد الزحف العمراني العشوائي بحرم وادي القطارة بمدينة بنغازي، ليبيا . مجلة مداد الآداب 13 ،(عدد خاص بمؤتمر قسم الجغرافية 2023) . 1262-1235 [\[Google Scholar\]](#)
20. يارا الويس، صفية عيد & ناصر إبراهيم (2023). استخدام الصور الرادارية (Sentinel-1) في دراسة الغطاء النباتي (دراسة تطبيقية على منطقة النبي متى وسهل عكار في محافظة طرطوس). مجلة مداد الآداب 13 ،(عدد خاص بمؤتمر قسم الجغرافية ، الجامعة العراقية ، 2023)، 234-199 [\[Google Scholar\]](#)